

PATENTOVÝ SPIS

(19)
ČESKÁ
REPUBLIKA



ÚŘAD
PRŮMYSLOVÉHO
VLASTNICTVÍ

(21) Číslo přihlášky: **2016-35**
 (22) Přihlášeno: **26.01.2016**
 (40) Zveřejněno:
(Věstník č. 5/2017)
 (47) Uděleno: **21.12.2016**
 (24) Oznámení o udělení ve věstníku:
(Věstník č. 5/2017)

(11) Číslo dokumentu:

306 464

(13) Druh dokumentu: **B6**

(51) Int. Cl.:

H02K 3/28	(2006.01)
H02K 17/02	(2006.01)
H02K 19/02	(2006.01)
H02K 3/02	(2006.01)

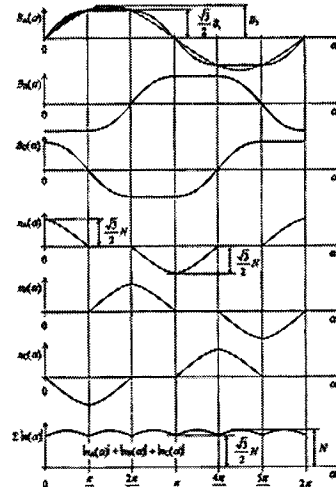
(56) Relevantní dokumenty:

EP 2270962 A; RU 2277283 A; JP 2015126628 A; JP 2014045622 A; GB 656655 A; CN 202076902 U.

- (73) Majitel patentu:
Vysoké učení technické v Brně, Brno, CZ
- (72) Původce:
doc. Dr. Ing. Miroslav Patočka, Soběšice, CZ
Ing. Radoslav Cipín, Ph.D., Brno - Bohunice, CZ
- (74) Zástupce:
Kania, Sedlák, Smola, Ing. Tomáš Benda,
Mendlovo nám. 1a, 603 00 Brno

(54) Název vynálezu:
**Rozložení vodičů ve statorovém/rotorovém
vinutí trojfázových střídavých točivých
strojů**

(57) Anotace:
Vynález řeší rozložení vodičů u statoru/rotoru
trojfázového střídavého točivého stroje obsahující drážky
a alespoň jeden pólpar, kde v drážkách každého pólparu
je uloženo statorové/rotorové vinutí všech tří fází daného
pólparu, kde počet vodičů v i-té drážce jednoho pólparu
jedné fáze trojfázového vinutí odpovídá počtu vodičů
danému vzorcem, kde počet vinutí je dán integrálem
orientované hustoty vodičů fázového vinutí v daných
mezích určených počtem drážek jednoho statoru/rotoru, o
kterou drážku pólparu se jedná. Maximální odchylku
vypočteme podle vzorce vyjádřeného z celkového
množství závitů jednoho pólparu fázového vinutí a počtu
drážek jednoho pólparu statoru/rotoru.



Rozložení vodičů ve statorovém/rotorovém vinutí trojfázových střídavých točivých strojů

Oblast techniky

5

Vynález se týká rozložení vodičů ve statorovém/rotorovém vinutí trojfázových střídavých točivých strojů.

10

Dosavadní stav techniky

V případě trojfázových střídavých elektrických strojů asynchronních i synchronních je snahou rozprostřít vodiče každého ze tří fázových vinutí do drážek statoru, popř. i rotoru, takovým způsobem, aby magnetická indukce ve vzduchové mezere stroje měla ideální harmonický, tj. sinusový, prostorový průběh, při postupu po obvodu vzduchové mezery.

Mezi odborníky v daném oboru je běžně známo tzv. „harmonické vinutí“, ve kterém jsou vodiče každé fáze rozprostřeny harmonicky v drážkách podél celého obvodu pólpáru. Toto vinutí sice generuje harmonický průběh magnetické indukce podél vzduchové mezery, ale jeho činitel vinutí 15 činí pouze 0,785, a navíc je trojvrstvé a tedy výrobně velmi složité. Z těchto důvodů se v praxi vůbec nepoužívá.

Všechna známá a v praxi skutečně využívaná řešení se tomuto ideálu pouze blíží. Řešení je vždy kompromisem mezi složitostí vinutí, odchylkou od ideálního harmonického průběhu a dosaženým činitelem vinutí, kde činitel vinutí je číslo ležící v intervalu 0 až 1, přičemž ideálem je 1.

Cílem vynálezu je představit takové rozložení vodičů ve statorovém/rotorovém vinutí trojfázových střídavých točivých strojů, které výše uvedené nevýhody stavu techniky potlačí a vytvoří čistě harmonický průběh magnetické indukce podél vzduchové mezery.

30

Podstata vynálezu

Výše zmíněné nedostatky odstraňuje do značné míry stator/rotor trojfázového střídavého točivého stroje obsahující drážky a alespoň jeden pólpár, kde v drážkách každého pólpáru je uloženo statorové/rotorové vinutí všech tří fází daného pólpáru jehož podstata spočívá v tom, že počet vodičů v i-té drážce jednoho pólpáru jedné fáze trojfázového vinutí odpovídá počtu vodičů danému vzorcem

$$N_{s,i} = \frac{i \frac{2\pi}{Q}}{(i-1) \frac{2\pi}{Q}} \int n(\alpha) d\alpha,$$

40

kde Q je počet drážek jednoho pólpáru statoru/rotoru, i označuje o kterou drážku pólpáru se jedná, přičemž jde o přirozené číslo ležící v rozsahu 1 až Q, a n(α) je orientovaná hustota vodičů fázového vinutí, s maximální odchylkou vypočtenou podle vzorce

45

$$\Delta N_{s,i} = \pm N \frac{36}{Q^2},$$

kde N je celkový počet závitů jednoho pólpáru fázového vinutí, a Q je počet drážek jednoho pólpáru statoru/rotoru.

50

Ve výhodném provedení je orientovaná hustota vodičů $n(\alpha)$ jednoho pólparu fázového vinutí dána rovnicí

$$n(\alpha) = \begin{cases} N \cos \left(\alpha + \frac{\pi}{6} \right) & \text{pro } \alpha \in \left\langle 0 ; \frac{\pi}{3} \right\rangle \\ 0 & \text{pro } \alpha \in \left\langle \frac{\pi}{3} ; \frac{2\pi}{3} \right\rangle \\ -N \cos \left(\alpha + \frac{5\pi}{6} \right) & \text{pro } \alpha \in \left\langle \frac{2\pi}{3} ; \pi \right\rangle \\ -N \cos \left(\alpha - \frac{5\pi}{6} \right) & \text{pro } \alpha \in \left\langle \pi ; \frac{4\pi}{3} \right\rangle \\ 0 & \text{pro } \alpha \in \left\langle \frac{4\pi}{3} ; \frac{5\pi}{3} \right\rangle \\ N \cos \left(\alpha - \frac{\pi}{6} \right) & \text{pro } \alpha \in \left\langle \frac{5\pi}{3} ; 2\pi \right\rangle \end{cases},$$

5

kde elektrický úhel α měřený podél vzduchové mezery trojfázového střídavého stroje nabývá hodnot ležících v rozsahu 0 až 2π , kde úhel 2π odpovídá jednomu pólparu fázového vinutí statoru/rotoru, kde kladné hodnotě orientované hustoty $n(\alpha)$ odpovídá zvolený kladný směr proudu ve vodičích příslušné drážky, kde záporné hodnotě odpovídá záporný směr proudu ve vodičích příslušné drážky, a kde N je celkový počet závitů jednoho pólparu fázového vinutí statoru/rotoru.

10

V jiném výhodném provedení je orientovaná hustota vodičů $n(\alpha)$ jednoho pólparu fázového vinutí dána rovnicí

$$n(\alpha) = \begin{cases} N \left(\frac{3}{\pi} \right)^2 \left(\frac{\pi}{3} - \alpha \right) & \text{pro } \alpha \in \left\langle 0 ; \frac{\pi}{3} \right\rangle \\ 0 & \text{pro } \alpha \in \left\langle \frac{\pi}{3} ; \frac{2\pi}{3} \right\rangle \\ N \left(\frac{3}{\pi} \right)^2 \left(\frac{2\pi}{3} - \alpha \right) & \text{pro } \alpha \in \left\langle \frac{2\pi}{3} ; \pi \right\rangle \\ N \left(\frac{3}{\pi} \right)^2 \left(\alpha - \frac{4\pi}{3} \right) & \text{pro } \alpha \in \left\langle \pi ; \frac{4\pi}{3} \right\rangle \\ 0 & \text{pro } \alpha \in \left\langle \frac{4\pi}{3} ; \frac{5\pi}{3} \right\rangle \\ N \left(\frac{3}{\pi} \right)^2 \left(\alpha - \frac{5\pi}{3} \right) & \text{pro } \alpha \in \left\langle \frac{5\pi}{3} ; 2\pi \right\rangle \end{cases},$$

15

kde elektrický úhel α měřený podél vzduchové mezery trojfázového střídavého stroje nabývá hodnot ležících v rozsahu 0 až 2π , kde úhel 2π odpovídá jednomu pólparu fázového vinutí statoru/rotoru, kde kladné hodnotě orientované hustoty $n(\alpha)$ odpovídá zvolený kladný směr proudu ve vodičích příslušné drážky, kde záporné hodnotě odpovídá záporný směr proudu ve vodičích příslušné drážky, a kde N je celkový počet závitů jednoho pólparu fázového vinutí statoru/rotoru.

20

Objasnění výkresů

Vynález bude dále přiblížen pomocí obrázků, kde obr. 1 představuje funkce trojfázového vinutí jednoho pólparu definované rovnicí pro ekonomické harmonické vinutí, kde funkce $B_A(\alpha)$, $B_B(\alpha)$, $B_C(\alpha)$ jsou průběhy magnetických indukcí, funkce $n_A(\alpha)$, $n_B(\alpha)$, $n_C(\alpha)$ jsou orientované hustoty vodičů fázového vinutí a funkce $\sum|n(\alpha)|$ je součet počtu vodičů v jednotlivých drážkách, obr. 2 představuje funkce trojfázového vinutí jednoho pólparu definované rovnicí pro ekonomické kvaziharmonické vinutí, kde funkce $B_A(\alpha)$, $B_B(\alpha)$, $B_C(\alpha)$ jsou průběhy magnetických indukcí, funkce $n_A(\alpha)$, $n_B(\alpha)$, $n_C(\alpha)$ jsou orientované hustoty vodičů fázového vinutí a funkce $\sum|n(\alpha)|$ je součet počtu vodičů v jednotlivých drážkách, a obr. 3 představuje jeden pólpar ekonomického harmonického dvojvrstvého vinutí s naznačenými vodiči pouze jedné fáze, kde $Q = 24$ a $\alpha_s = 15^\circ$.

15 Příklady uskutečnění vynálezu

Rozložení vodičů ve statorovém/rotorovém vinutí trojfázových střídavých točivých strojů podle vynálezu, kde celkový počet $N_{s,i}$ vodičů v i-té drážce jednoho pólparu jedné fáze trojfázového vinutí je určen rovnicí:

20

$$N_{s,i} = \int_{\frac{(i-1)2\pi}{Q}}^{\frac{i2\pi}{Q}} n(\alpha) d\alpha, \quad \text{pro } i = 1, 2, \dots, Q, \quad (1),$$

kde:

25 Q je počet drážek jednoho pólparu statoru/rotoru, přičemž Q nemůže být libovolné, ale smí nabývat pouze hodnot:

$$Q = 6k \quad \text{pro } k = 2, 3, 4, 5, 6, \dots, \quad (2),$$

30 k je libovolné přirozené číslo větší než 1,

$n(\alpha)$ je orientovaná hustota vodičů jednoho pólparu fázového vinutí definovaná po částech, tj. v šesti intervalech, rovnicemi pro ekonomické harmonické vinutí:

$$n(\alpha) = \begin{cases} N \cos\left(\alpha + \frac{\pi}{6}\right) & \text{pro } \alpha \in \left(0; \frac{\pi}{3}\right) \\ 0 & \text{pro } \alpha \in \left(\frac{\pi}{3}; \frac{2\pi}{3}\right) \\ -N \cos\left(\alpha + \frac{5\pi}{6}\right) & \text{pro } \alpha \in \left(\frac{2\pi}{3}; \pi\right) \\ -N \cos\left(\alpha - \frac{5\pi}{6}\right) & \text{pro } \alpha \in \left(\pi; \frac{4\pi}{3}\right) \\ 0 & \text{pro } \alpha \in \left(\frac{4\pi}{3}; \frac{5\pi}{3}\right) \\ N \cos\left(\alpha - \frac{\pi}{6}\right) & \text{pro } \alpha \in \left(\frac{5\pi}{3}; 2\pi\right) \end{cases} \quad (3),$$

35

kde elektrický úhel α měřený podél vzduchové mezery stroje nabývá hodnot ležících v rozsahu 0 až 2π , kde úhel 2π odpovídá jednomu pólpáru. Kladné hodnotě orientované hustoty $n(\alpha)$ odpovídá zvolený kladný směr proudu ve vodičích příslušné drážky. Záporné hodnotě odpovídá opačný, tj. záporný, směr proudu, přičemž N je celkový počet závitů jednoho pólpáru fázového vinutí, který je určen standardním způsobem z indukčního zákona, tj. z rovnice:

$$u_i(t) = k_{w,1} N \frac{d\Phi_{tot}(t)}{dt}, \quad (4),$$

kde:

10

$u_i(t)$ je indukované napětí jednoho pólpáru fázového vinutí,

$\Phi_{tot}(t)$ je celkový magnetický tok jednoho pólpáru,

$k_{w,1}$ je celkový činitel vinutí pro užitečnou 1. harmonickou, jehož hodnota je:

15

$$k_{w,1} = \frac{\pi}{2} \cdot \frac{n_1}{N} = \frac{\pi}{2} \cdot \frac{1}{\sqrt{3}} = 0,90690, \quad (5),$$

kde n_1 je amplituda 1. harmonické Fourierova rozvoje funkce $n(\alpha)$ definované rovnicemi (3), přičemž tato amplituda má hodnotu:

20

$$n_1 = \frac{N}{\sqrt{3}}. \quad (6)$$

Funkce $n_A(\alpha)$ představená na obr. 1 je přímo rovna funkci $n(\alpha)$ definované rovnicemi (3). Funkce $n_B(\alpha)$, $n_C(\alpha)$ mají stejný tvar, ale oproti funkci $n_A(\alpha)$ jsou posunuty o úhel buď $+2\pi/3$, nebo $-2\pi/3$.

25

Z průběhu funkcí $n_A(\alpha)$, $n_B(\alpha)$, $n_C(\alpha)$ plyne, že v každé drážce se nacházejí vodiče, které náležejí pouze ke dvěma různým fázím. Jedná se tedy o dvojvrstvé vinutí.

30

Průběh funkce $\Sigma|n(\alpha)|$ zobrazený na obr. 1 ukazuje, že součet vodičů v jednotlivých drážkách není bohužel konstantní, ale kolísá mezi maximem a minimem v poměru $(2/\sqrt{3}):1 = 1,155:1$. Toto kolísání odstraňuje systém pro ekonomické kvaziharmonické vinutí, který je znázorněn na obr. 2, kde rozvinutím funkce $n(\alpha)$, definované rovnicemi (3), do Taylorovy řady a využijeme-li pouze první člen řady a normalizujeme-li první člen koeficientem $3/\pi$ na stejný celkový počet N závitů, určený rovnicí (4), pak se původní funkce $n(\alpha)$, definovaná rovnicemi (3), změní do tvaru

35

$$n(\alpha) = \begin{cases} N\left(\frac{3}{\pi}\right)^2 \left(\frac{\pi}{3} - \alpha\right) & \text{pro } \alpha \in \left(0; \frac{\pi}{3}\right) \\ 0 & \text{pro } \alpha \in \left(\frac{\pi}{3}; \frac{2\pi}{3}\right) \\ N\left(\frac{3}{\pi}\right)^2 \left(\frac{2\pi}{3} - \alpha\right) & \text{pro } \alpha \in \left(\frac{2\pi}{3}; \pi\right) \\ N\left(\frac{3}{\pi}\right)^2 \left(\alpha - \frac{4\pi}{3}\right) & \text{pro } \alpha \in \left(\pi; \frac{4\pi}{3}\right) \\ 0 & \text{pro } \alpha \in \left(\frac{4\pi}{3}; \frac{5\pi}{3}\right) \\ N\left(\frac{3}{\pi}\right)^2 \left(\alpha - \frac{5\pi}{3}\right) & \text{pro } \alpha \in \left(\frac{5\pi}{3}; 2\pi\right) \end{cases} \quad (7).$$

Stejně jako v případě rovnice (3), odpovídá úhel 2π , měřený podél vzduchové mezery stroje, jednomu pólpáru. Kladné hodnotě orientované hustoty $n(\alpha)$ odpovídá zvolený kladný směr proudu ve vodičích příslušné drážky. Záporné hodnotě odpovídá opačný, tj. záporný, směr proudu. N je celkový počet závitů jednoho pólpáru fázového vinutí, který je určen standardním způsobem z indukčního zákona (4), ve kterém ale, v případě rovnic (7), má celkový činitel vinutí $k_{w,1}$ pro užitečnou 1. harmonickou mírně odlišnou hodnotu:

$$k_{w,1} = \frac{\pi}{2} \cdot \frac{n_1}{N} = \frac{\pi}{2} \cdot \frac{18}{\pi^3} = \left(\frac{3}{\pi}\right)^2 = 0,9118906, \quad (8),$$

10

kde n_1 je amplituda 1. harmonické Fourierova rozvoje funkce $n(\alpha)$ definované rovnicemi (7), přičemž tato amplituda má hodnotu:

$$n_1 = \frac{18N}{\pi^3}. \quad (9)$$

15

Počet $N_{s,i}$ vodičů v i-té drážce, určené rovnicí (1), je nutno při praktické realizaci stroje zakrouhlit na celá čísla, čímž vzniknou odchyly $\Delta N_{s,i}$ od ideálních hodnot daných rovnicí (1), přičemž tyto odchyly mohou v libovolné každé i-té drážce dosahovat velikosti dané vzorcem (10), aniž dojde k významnému zhoršení parametrů vinutí.

20

$$\Delta N_{s,i} = \pm N \frac{36}{Q^2} \quad (10),$$

kde:

25

N je celkový počet závitů jednoho pólpáru fázového vinutí určený rovnicí (4),

Q je počet drážek jednoho pólpáru statoru/rotoru určený rovnicí (2).

Rovnice (10) je platná pro oba typy vinutí definovaných rovnicemi (3) a (7).

30

Z průběhů funkcí $n_A(\alpha)$, $n_B(\alpha)$, $n_C(\alpha)$ zobrazených na obr. 1 plyne, že v každé drážce se nacházejí vodiče, které náležejí pouze ke dvěma různým fázím. Jedná se tedy o dvojvrstvé vinutí. Průběh funkce $\Sigma|n(\alpha)|$, zobrazený na obr. 2, ukazuje, že součet vodičů v jednotlivých drážkách je konstantní. To je základní výhodou oproti předchozímu ekonomickému harmonickému vinutí.

35

Průběhy magnetických indukcí $B_A(\alpha)$, $B_B(\alpha)$, $B_C(\alpha)$ na obou obr. 1, obr. 2 vyplývají z matematických vztahů mezi funkcemi $n(\alpha)$ a $B(\alpha)$:

$$n(\alpha) = \frac{g_c}{I_\mu \mu_0} \frac{dB(\alpha)}{d\alpha}, \quad (11),$$

40

kde:

g_c je korigovaná délka vzduchové mezery,

I_μ je magnetizační proud,

μ_0 je permeabilita vakua.

45

Integrací diferenciální rovnice (11) získáme reciproký integrální vztah

$$B(\alpha) = \frac{I_u \mu_0}{g_c} \int n(\alpha) d\alpha. \quad (12)$$

Neurčitý integrál v rovnici (12) musí mít nulovou integrační konstantu, protože funkce $B(\alpha)$ ani $n(\alpha)$ nesmí z fyzikálních důvodů obsahovat stejnosměrnou složku.

5

Příklad výpočtu

Příkladu výpočtu rozložení vodičů ve statorovém/rotorovém vinutí zobrazeném na obr. 3 je uskutečněn pro jeden pólpar, $p = 1$, který zaujímá 24 statorových drážek, tj. $Q = 24$. U vícepólových strojů s větším počtem pólparu, $p = 2, 3, \dots$, by zůstal návrh jednoho pólparu stále stejný za předpokladu, že každý pólpar by zaujímal stále stejný počet drážek $Q = 24$.

Z obr. 3 plyne, že celkový počet vodičů N je nerovnoměrně rozložen do 8 drážek ležících v intervalu $\alpha \in <5\pi/3; \pi/3>$. Vzhledem k symetrii podle vodorovné osy je $N/2$ vodičů rozloženo podle funkce $n(\alpha)$ do 4 drážek ležících v intervalu $\alpha \in <0; \pi/3>$. Podle rovnic (1) a (3) lze určit počty vodičů N_{s1} až N_{s4} v jednotlivých drážkách označených symboly $s1$ až $s4$:

$$N_{s1} = \int_0^{\pi/12} n(\alpha) d\alpha = \int_0^{\pi/12} N \cos\left(\alpha + \frac{\pi}{6}\right) d\alpha = \frac{\sqrt{2}-1}{2} N = 0,20711 N, \quad (13a)$$

$$N_{s2} = \int_{\pi/12}^{2\pi/12} n(\alpha) d\alpha = \int_{\pi/12}^{2\pi/12} N \cos\left(\alpha + \frac{\pi}{6}\right) d\alpha = \frac{\sqrt{3}-\sqrt{2}}{2} N = 0,15892 N, \quad (13b)$$

$$N_{s3} = \int_{2\pi/12}^{3\pi/12} n(\alpha) d\alpha = \int_{2\pi/12}^{3\pi/12} N \cos\left(\alpha + \frac{\pi}{6}\right) d\alpha = \frac{1+\sqrt{3}-\sqrt{6}}{2\sqrt{2}} N = 0,09990 N, \quad (13c)$$

$$N_{s4} = \int_{3\pi/12}^{\pi/3} n(\alpha) d\alpha = \int_{3\pi/12}^{\pi/3} N \cos\left(\alpha + \frac{\pi}{6}\right) d\alpha = 1 - \frac{1+\sqrt{3}}{2\sqrt{2}} N = 0,03407 N. \quad (13d)$$

20

Pomocí vzorce (14) lze zkонтrolovat, že se součet vodičů ve všech drážkách bude rovat číslu N :

$$N = 2(N_{s1} + N_{s2} + N_{s3} + N_{s4}) \quad (14)$$

25

Podle obr. 3 bude každá drážka obsahovat dvě vrstvy, přičemž každá vrstva přísluší jiné fázi. Součet vodičů od obou vrstev bude v každé drážce jiný a bude nabývat dvou hodnot

$$N_{s1} + N_{s4} = \frac{1+\sqrt{2}-\sqrt{3}}{2\sqrt{2}} N = 0,24118 N, \quad N_{s2} + N_{s3} = \frac{\sqrt{3}-1}{2\sqrt{2}} N = 0,25882 N \quad (15)$$

30

kde jejich vzájemný poměr činí $0,25882 : 0,24118 = 1,07313$. Po obvodu statoru se budou pravidelně střídat dvě dvojice drážek. V každé drážce jedné dvojice bude vždy stejný počet vodičů, buď $0,25882 N$, nebo $0,24118 N$.

35

Podobným způsobem je možno rozpočítat počty vodičů N_{s1}, N_{s2}, \dots i pro jiné počty drážek než $Q = 24$, nebo 36. Výsledky jsou uvedeny v tab. 1 a tab. 2.

Celkový počet drážek Q v rámci jednoho pólparu však nemůže být libovolné číslo. Musí to být násobek šesti daný rovnici (2) a uvedený v tab. 1. Tomu odpovídají i příslušné počty q drážek na pól a fázi. Omezení čísla Q shora teoreticky neexistuje.

Q	12	18	24	30	36	42	48	54	60	66
q	2	3	4	5	6	7	8	9	10	11

Q	72	78	84	90	96	102	108	114	120	...
q	12	13	14	15	16	17	18	19	20	...

Tab. 1

5

Počty vodičů N_s v drážkách jednoho pólparu jedné fáze trojfázového vinutí se určují podle vzorce (1). Přičemž relativní počty vodičů N_s/N v drážkách jednoho pólparu jedné fáze trojfázového vinutí vypočtené podle vzorce (1) jsou uvedeny v tab. 2, představující relativní počty vodičů N_s/N v drážkách jednoho pólparu jedné fáze trojfázového vinutí pro přípustné počty drážek Q u ekonomického harmonického vinutí.

Q	12	18	24	30	36	42	48
$N_{s,1}/N$	0,36603	0,26604	0,20711	0,16913	0,14279	0,12349	0,10876
$N_{s,2}/N$	0,13397	0,17365	0,15892	0,13989	0,12326	0,10956	0,09835
$N_{s,3}/N$	-	0,06031	0,09990	0,10453	0,09998	0,09319	0,08625
$N_{s,4}/N$	-	-	0,03407	0,06460	0,07367	0,07473	0,07267
$N_{s,5}/N$	-	-	-	0,02185	0,04512	0,05460	0,05785
$N_{s,6}/N$	-	-	-	-	0,01519	0,03326	0,04205
$N_{s,7}/N$	-	-	-	-	-	0,01117	0,02552
$N_{s,8}/N$	-	-	-	-	-	-	0,00856
$N_{s,9}/N$	-	-	-	-	-	-	-
$N_{s,10}/N$	-	-	-	-	-	-	-
$N_{s,11}/N$	-	-	-	-	-	-	-
$N_{s,12}/N$	-	-	-	-	-	-	-
$N_{s,13}/N$	-	-	-	-	-	-	-
$N_{s,14}/N$	-	-	-	-	-	-	-
$N_{s,15}/N$	-	-	-	-	-	-	-
$N_{s,16}/N$	-	-	-	-	-	-	-
$N_{s,17}/N$	-	-	-	-	-	-	-
$N_{s,18}/N$	-	-	-	-	-	-	-
$N_{s,19}/N$	-	-	-	-	-	-	-
$N_{s,20}/N$	-	-	-	-	-	-	-
...

Tab. 2 (1. část)

Q	54	60	66	72	78	84	90
$N_{s,1}/N$	0,09716	0,08779	0,08006	0,07358	0,06806	0,06332	0,05919
$N_{s,2}/N$	0,08908	0,08135	0,07480	0,06921	0,06438	0,06017	0,05647
$N_{s,3}/N$	0,07980	0,07401	0,06887	0,06432	0,06028	0,05668	0,05347
$N_{s,4}/N$	0,06944	0,06587	0,06232	0,05894	0,05579	0,05288	0,05021
$N_{s,5}/N$	0,05814	0,05701	0,05520	0,05311	0,05093	0,04878	0,04670
$N_{s,6}/N$	0,04606	0,04752	0,04758	0,04687	0,04575	0,04441	0,04297
$N_{s,7}/N$	0,03335	0,03751	0,03953	0,04028	0,04027	0,03979	0,03903
$N_{s,8}/N$	0,02019	0,02709	0,03113	0,03338	0,03452	0,03494	0,03490
$N_{s,9}/N$	0,00676	0,01637	0,02244	0,02623	0,02856	0,02990	0,03060
$N_{s,10}/N$	-	0,00548	0,01354	0,01888	0,02241	0,02470	0,02615
$N_{s,11}/N$	-	-	0,00453	0,01139	0,01611	0,01936	0,02157
$N_{s,12}/N$	-	-	-	0,00381	0,00971	0,01390	0,01689
$N_{s,13}/N$	-	-	-	-	0,00324	0,00837	0,01212
$N_{s,14}/N$	-	-	-	-	-	0,00280	0,00730
$N_{s,15}/N$	-	-	-	-	-	-	0,00244
$N_{s,16}/N$	-	-	-	-	-	-	-
$N_{s,17}/N$	-	-	-	-	-	-	-
$N_{s,18}/N$	-	-	-	-	-	-	-
$N_{s,19}/N$	-	-	-	-	-	-	-
$N_{s,20}/N$	-	-	-	-	-	-	-
...

Tab. 2 (2. část)

Q	96	102	108	114	120	...
$N_{s,1}/N$	0,05557	0,05236	0,04951	0,04695	0,04464	...
$N_{s,2}/N$	0,05319	0,05027	0,04765	0,04529	0,04315	...
$N_{s,3}/N$	0,05058	0,04798	0,04563	0,04349	0,04154	...
$N_{s,4}/N$	0,04776	0,04552	0,04345	0,04156	0,03981	...
$N_{s,5}/N$	0,04473	0,04287	0,04113	0,03950	0,03798	...
$N_{s,6}/N$	0,04151	0,04007	0,03867	0,03732	0,03604	...
$N_{s,7}/N$	0,03812	0,03712	0,03608	0,03503	0,03400	...
$N_{s,8}/N$	0,03456	0,03402	0,03336	0,03264	0,03187	...
$N_{s,9}/N$	0,03085	0,03080	0,03054	0,03014	0,02965	...
$N_{s,10}/N$	0,02701	0,02745	0,02761	0,02755	0,02735	...
$N_{s,11}/N$	0,02305	0,02401	0,02458	0,02488	0,02498	...
$N_{s,12}/N$	0,01900	0,02047	0,02148	0,02214	0,02254	...
$N_{s,13}/N$	0,01486	0,01685	0,01830	0,01932	0,02003	...
$N_{s,14}/N$	0,01066	0,01318	0,01506	0,01645	0,01748	...
$N_{s,15}/N$	0,00641	0,00945	0,01176	0,01353	0,01487	...
$N_{s,16}/N$	0,00214	0,00568	0,00843	0,01056	0,01222	...
$N_{s,17}/N$	-	0,00190	0,00507	0,00757	0,00954	...
$N_{s,18}/N$	-	-	0,00169	0,00455	0,00683	...
$N_{s,19}/N$	-	-	-	0,00152	0,00411	...
$N_{s,20}/N$	-	-	-	-	0,00137	...
...

Tab. 2 (3. část)

Počet $N_{s,i}$ vodičů v i-té drážce, určené rovnicí (1), je nutno při praktické realizaci stroje zaokrouhlit na celé číslo, čímž vzniknou odchylky $\Delta N_{s,i}$ od ideálních hodnot daných rovnicí (1), přičemž tyto odchylky mohou v libovolné každé i-té drážce dosahovat velikosti dané vzorcem (10), aniž dojde k významnému zhoršení parametrů vinutí. Relativní odchylky vypočtené podle tohoto vzorce (10) jsou uvedeny v tabulce tab. 3, představující relativní odchylky vodičů $\Delta N_s/N$ v jednotlivých drážkách, pro přípustné počty drážek Qu ekonomického harmonického vinutí.

Q	12	18	24	30	36	42	...
$\Delta N_{s,1}/N$	$\pm 0,2500$	$\pm 0,1111$	$\pm 0,0625$	$\pm 0,0400$	$\pm 0,0278$	$\pm 0,0204$...
$\Delta N_{s,2}/N$	$\pm 0,2500$	$\pm 0,1111$	$\pm 0,0625$	$\pm 0,0400$	$\pm 0,0278$	$\pm 0,0204$...
$\Delta N_{s,3}/N$	-	$\pm 0,1111$	$\pm 0,0625$	$\pm 0,0400$	$\pm 0,0278$	$\pm 0,0204$...
$\Delta N_{s,4}/N$	-	-	$\pm 0,0625$	$\pm 0,0400$	$\pm 0,0278$	$\pm 0,0204$...
$\Delta N_{s,5}/N$	-	-	-	$\pm 0,0400$	$\pm 0,0278$	$\pm 0,0204$...
$\Delta N_{s,6}/N$	-	-	-	-	$\pm 0,0278$	$\pm 0,0204$...
$\Delta N_{s,7}/N$	-	-	-	-	-	$\pm 0,0204$...
$\Delta N_{s,8}/N$	-	-	-	-	-	-	...
...

Tab. 3

Oba výše popsané způsoby rozložení vodičů ve statorovém/rotorovém vinutí podle vynálezu jsou vhodné pro stavbu trojfázových asynchronních strojů i synchronních strojů, zvláště synchronních generátorů.

Výhodami použití rozložení vodičů ve statorovém/rotorovém vinutí podle vynálezu jsou:

- vytvoření čistě harmonického průběhu magnetické indukce podél vzduchové mezery, a to v rámci každého jednoho pólpáru,
- oproti stavu techniky je vinutí s rozložením vodičů podle vynálezu pouze dvojvrstvé oproti trojvrstvému tzv. „harmonickému vinutí“, známému ze stavu techniky,
- ekonomické harmonické vinutí má činitel vinutí $k_{w,i} = 0,90690$, což je v poměru $2/V3 = 1,1547$ více oproti činiteli vinutí tzv. "harmonického vinutí", známého ze stavu techniky,
- ekonomické kvaziharmonické vinutí má činitel vinutí $k_{w,i} = 0,91189$, a navíc má proti ekonomickému harmonickému vinutí ve všech drážkách stejný celkový počet vodičů (od obou vrstev).

PATENTOVÉ NÁROKY

1. Stator/rotor trojfázového střídavého točivého stroje obsahující drážky a alespoň jeden pólpár, kde v drážkách každého pólpáru je uloženo statorové/rotorové vinutí všech tří fází daného pólpáru, **vyznačující se tím**, že počet vodičů v i -té drážce jednoho pólpáru jedné fáze trojfázového vinutí odpovídá počtu vodičů danému vzorcem

$$N_{s,i} = \int_{(i-1)\frac{2\pi}{Q}}^{i\frac{2\pi}{Q}} n(\alpha) d\alpha ,$$

kde Q je počet drážek jednoho pólpáru statoru/rotoru, i označuje o kterou drážku pólpáru se jedná, přičemž jde o přirozené číslo ležící v rozsahu 1 až Q , a $n(\alpha)$ je orientovaná hustota vodičů fázového vinutí,

- 5 s maximální odchylkou vypočtenou podle vzorce

$$\Delta N_{s,l} = \pm N \frac{36}{Q^2},$$

10 kde N je celkový počet závitů jednoho pólpáru fázového vinutí, a Q je počet drážek jednoho pólpáru statoru/rotoru.

2. Stator/rotor trojfázových střídavých točivých strojů podle nároku 1, **v y z n a č u j í c í s e t í m**, že orientovaná hustota vodičů $n(\alpha)$ jednoho pólpáru fázového vinutí je dána rovnicí

$$n(\alpha) = \begin{cases} N \cos \left(\alpha + \frac{\pi}{6} \right) & \text{pro } \alpha \in \left\langle 0 ; \frac{\pi}{3} \right\rangle \\ 0 & \text{pro } \alpha \in \left\langle \frac{\pi}{3} ; \frac{2\pi}{3} \right\rangle \\ -N \cos \left(\alpha + \frac{5\pi}{6} \right) & \text{pro } \alpha \in \left\langle \frac{2\pi}{3} ; \pi \right\rangle \\ -N \cos \left(\alpha - \frac{5\pi}{6} \right) & \text{pro } \alpha \in \left\langle \pi ; \frac{4\pi}{3} \right\rangle \\ 0 & \text{pro } \alpha \in \left\langle \frac{4\pi}{3} ; \frac{5\pi}{3} \right\rangle \\ N \cos \left(\alpha - \frac{\pi}{6} \right) & \text{pro } \alpha \in \left\langle \frac{5\pi}{3} ; 2\pi \right\rangle \end{cases}$$

15

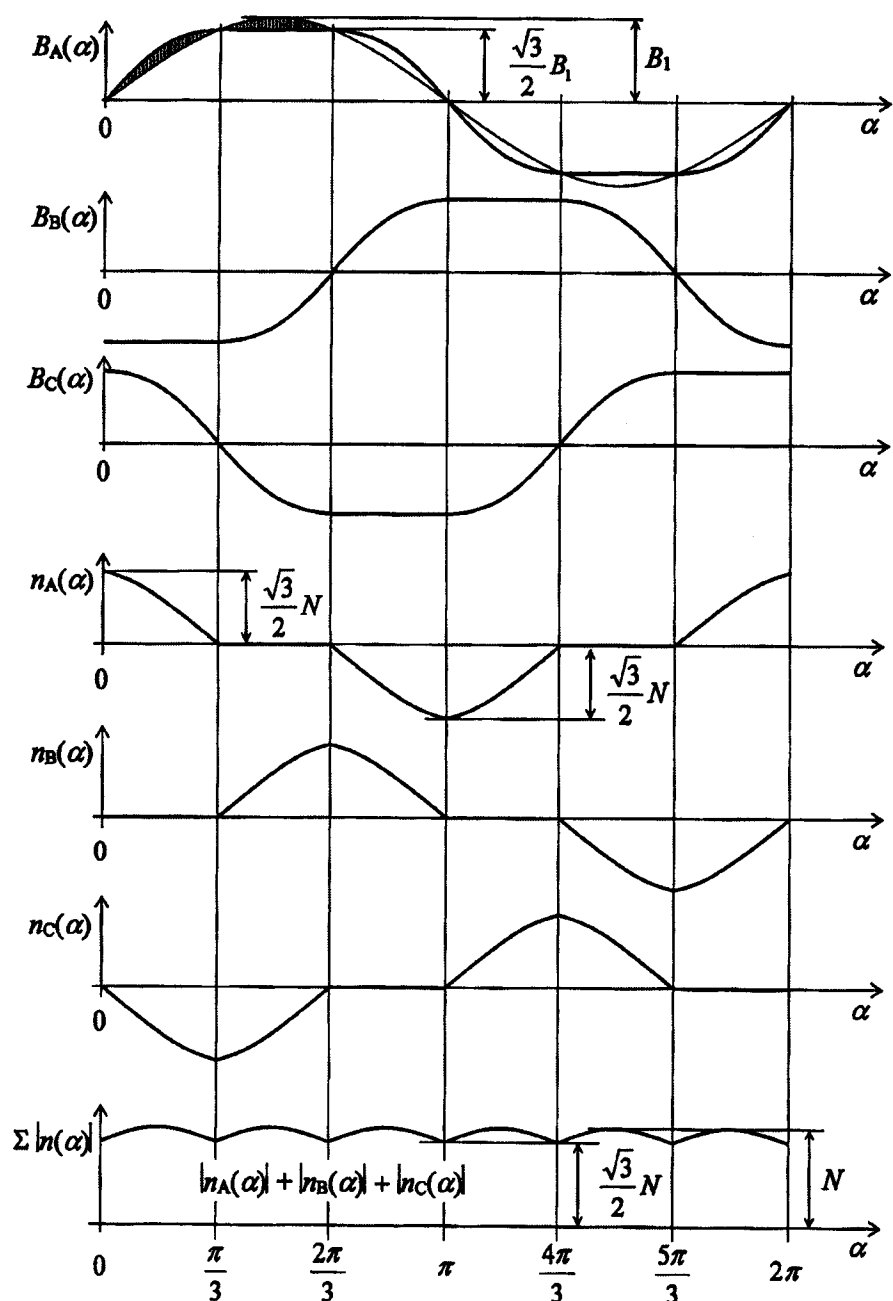
kde elektrický úhel α měřený podél vzduchové mezery trojfázového střídavého stroje nabývá hodnot ležících v rozsahu 0 až 2π , kde úhel 2π odpovídá jednomu pólpáru fázového vinutí statoru/rotoru, kde kladné hodnotě orientované hustoty $n(\alpha)$ odpovídá zvolený kladný směr proudu ve vodičích příslušné drážky, kde záporné hodnotě odpovídá záporný směr proudu ve vodičích příslušné drážky, a kde N je celkový počet závitů jednoho pólpáru fázového vinutí statoru/rotoru.

3. Statorové/rotorové vinutí podle nároku 1, **v y z n a č u j í c í s e t í m**, že orientovaná hustota vodičů $n(\alpha)$ jednoho pólpáru fázového vinutí je dána rovnicí

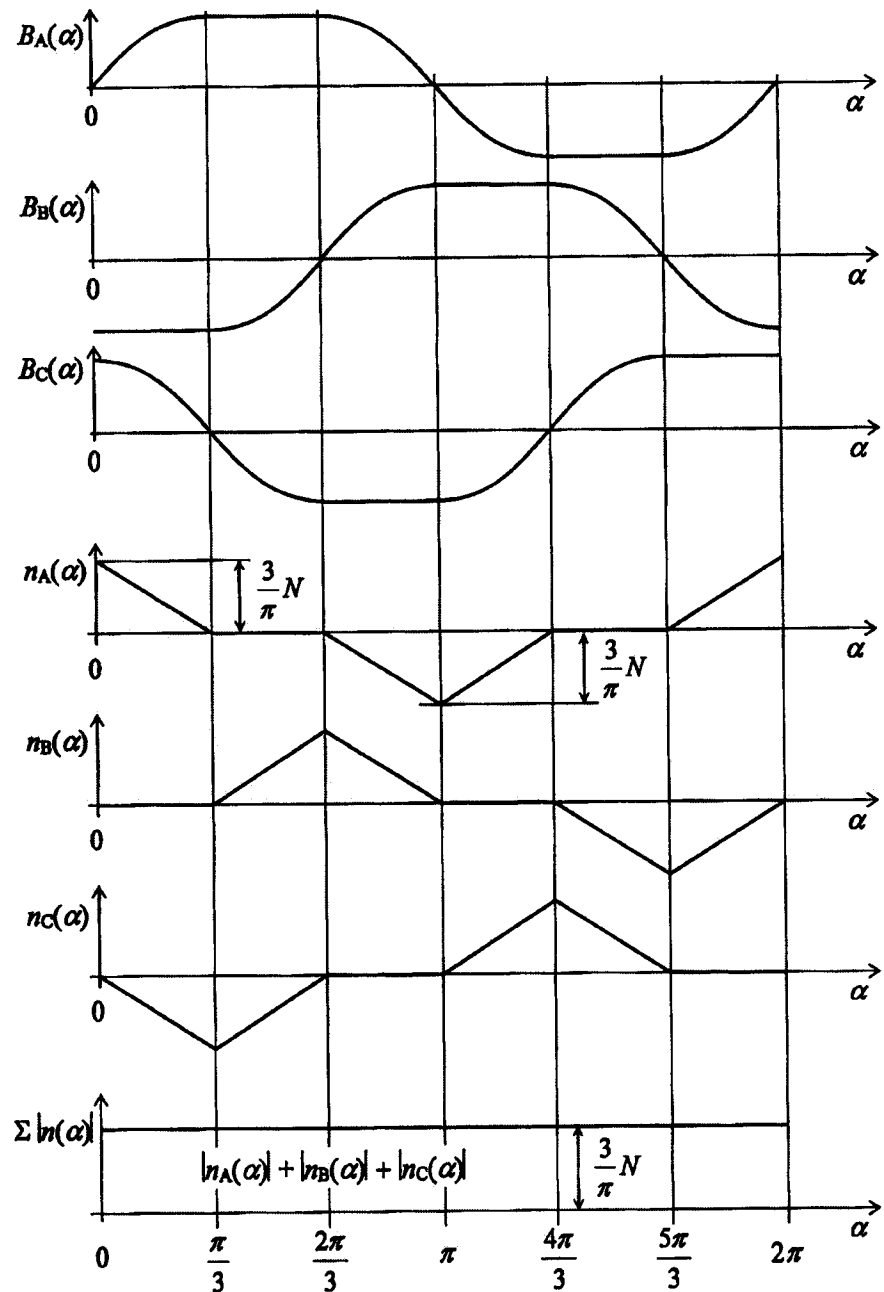
25

$$n(\alpha) = \begin{cases} N \left(\frac{3}{\pi} \right)^2 \left(\frac{\pi}{3} - \alpha \right) & \text{pro } \alpha \in \left\langle 0 ; \frac{\pi}{3} \right\rangle \\ 0 & \text{pro } \alpha \in \left\langle \frac{\pi}{3} ; \frac{2\pi}{3} \right\rangle \\ N \left(\frac{3}{\pi} \right)^2 \left(\frac{2\pi}{3} - \alpha \right) & \text{pro } \alpha \in \left\langle \frac{2\pi}{3} ; \pi \right\rangle \\ N \left(\frac{3}{\pi} \right)^2 \left(\alpha - \frac{4\pi}{3} \right) & \text{pro } \alpha \in \left\langle \pi ; \frac{4\pi}{3} \right\rangle \\ 0 & \text{pro } \alpha \in \left\langle \frac{4\pi}{3} ; \frac{5\pi}{3} \right\rangle \\ N \left(\frac{3}{\pi} \right)^2 \left(\alpha - \frac{5\pi}{3} \right) & \text{pro } \alpha \in \left\langle \frac{5\pi}{3} ; 2\pi \right\rangle, \end{cases}$$

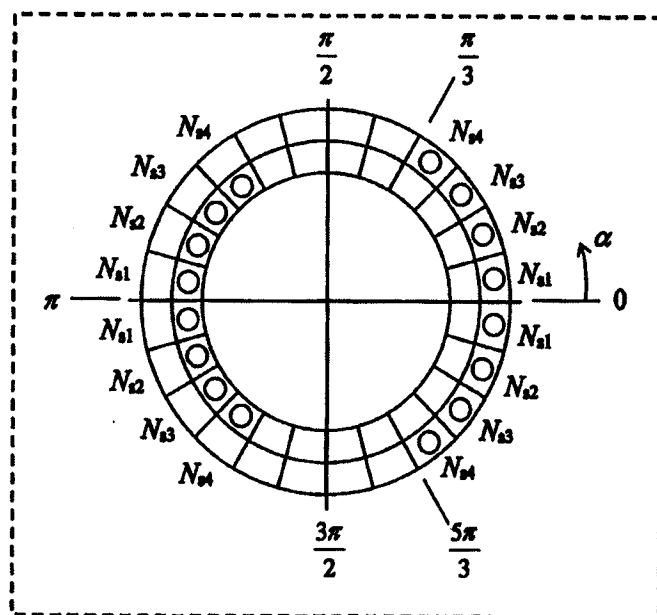
kde elektrický úhel α měřený podél vzduchové mezery trojfázového střídavého stroje nabývá hodnot ležících v rozsahu 0 až 2π , kde úhel 2π odpovídá jednomu pólpáru fázového vinutí statoru/rotoru, kde kladné hodnotě orientované hustoty $n(\alpha)$ odpovídá zvolený kladný směr proudu ve vodičích příslušné drážky, kde záporné hodnotě odpovídá záporný směr proudu ve vodičích příslušné drážky, a kde N je celkový počet závitů jednoho pólpáru fázového vinutí statoru/rotoru.



Obr. 1



Obr. 2



Obr. 3

Konec dokumentu
